

بِسْمِ اللَّهِ الرَّحْمَنِ الرَّحِيمِ

١٢٨١٤

دانشگاه شهید بهشتی

وزارت علوم، تحقیقات و فناوری

دانشگاه شهید بهشتی

دانشکده علوم زمین

گروه آموزشی زمین شناسی

رساله جهت اخذ درجه دکتری Ph.D زمین شناسی

گرایش رسوب شناسی و سنگ شناسی رسوبی

عنوان

محیط رسوبی و تاثیر عوامل دیاژنزی بر کیفیت مخزنی سازندهای آسماری-جهرم در شرق گسل قطر-کازرون (غرب فارس ساحلی)

استاد راهنما

دکتر محمد حسین آدابی

استاد مشاور

دکتر عباس صادقی

ذکارنده

سید علی معلمی

نیمسال دوم سال تحصیلی

۱۳۸۷-۱۳۸۸

کنفرانس های علمی
تمثیل مارک

۱۲۸۵۱۴

بسمه تعالیٰ
وزارت علوم ، تحقیقات و فناوری
دانشگاه شهید بهشتی
دانشکده علوم زمین
گروه آموزشی زمین شناسی
تأییدیه دفاع از رساله دکتری

این رساله توسط آقای سید علی معلمی دانشجوی دوره دکتری رشته زمین شناسی - رسوب شناسی و سنگ شناسی رسوبی تحت عنوان : محیط رسوبی و تأثیر عوامل دیاژنزی بر کیفیت مخزنی سازندهای آسماری - جهرم در شرق گسل قطر - کازرون (غرب فارس ساحلی) در تاریخ ۱۳۸۸/۲/۲۰ مورد دفاع قرار گرفت و براساس رأی هیأت داوران با نمره ۹۱^۳ و عالی درجه پذیرفته شد.

استاد راهنمای آقای دکتر محمدحسین آدابی

استاد مشاور آقای دکتر عباس صادقی

داور از دانشگاه آقای دکتر میرضاموسوی

داور از دانشگاه خانم دکتر محبوبه حسینی بروزی

داور خارج از دانشگاه آقای دکتر حسن رحیم پور بناب

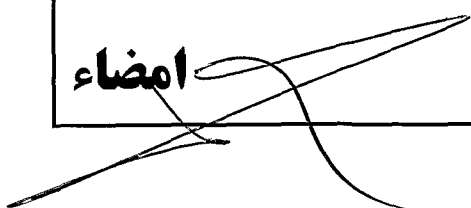
داور خارج از دانشگاه آقای دکتر جهانبخش دانشیان

اقرار و تعهدنامه

اینجانب سید علی معلمی دانشجوی مقطع دکتری
دانشگاه شهید بهشتی ، دانشکده علوم زمین ، گروه
زمین شناسی ، رشته زمین شناسی، گرایش رسوب
شناسی و سنگ شناسی رسوبی رساله حاضر را بر
اساس مطالعات و تحقیقات شخصی خود انجام داده و
در صورت استفاده از داده‌ها ، مأخذ ، منابع و
نقشه‌ها به طور کامل به آن ارجاع داده‌ام ، ضمناً
داده‌ها و نقشه‌های موجود را با توجه به مطالعات
میدانی – صحرائی خود تدوین نموده‌ام . این رساله
پیش از این به هیچ وجه در مرجع رسمی یا غیر رسمی
دیگری به عنوان گزارش یا طرح تحقیقاتی عرضه
نشده است . در صورتی که خلاف آن ثابت شود ،
درجی دریافتی اینجانب از اعتبار ساقط شده ،
عواقب و نتایج حقوقی حاصله را می‌پذیرم .

تاریخ ۲۰/۰۲/۸۸

امضاء



شندیم بے روچ جاودا نه پدر بزرگوارم.....

که خبر عروجش را صر حین انجام عملیات صحرایدن صر کوه سیاه دریافت نهاد.

تشکر و قدردانی

به سرانجام رسانی این رساله بدون کمک و راهنمایی استاد دانشگاه و صاحب نظران صنعت نفت میسر نمی بود، از اینرو بر خود واجب می داشم از تمامی عزیزانی که در مراحل مختلف انجام این رساله یاریگر من بوده اند کمال امتحان را ابراز دارم.

استاد راهنما آقای دکتر آدابی به سبب راهنمایی پایان نامه و استفاده از آموخته ها و تجربیاتشان در طول تحصیل

استاد مشاور آقای دکتر صادقی بخاطر مشاوره و راهنمایی های ارزنده

مهندس مطیعی جهت مشاوره علمی

مهندس منیبی جهت کمک به شناسایی میکروفسیل ها

مهندس نعمتی و مهندس چگینی جهت شرکت در عملیات صحرایی

دکتر لطف پور جهت مشاوره در تفسیر چینه شناسی سکانسی

مهندس حسینی جهت رسم بخشی از نمودار لاغها

مهندس رونقی و مهندس زمانی جهت همکاری در آماده سازی نمونه ها و تفسیر طیف XRD

آقایان شوکتیان، علینقیان و نوابی جهت تهیه مقاطع نازک میکروسکوپی، مقاطع CL و تزریق اپوکسی رزین

۹

دیگر همکاران گروه زمین شناسی مخزن پژوهشگاه صنعت نفت

سید علی معلمی
بهار ۱۳۸۸

چکینده:

سازند های کربناته آسماری و جهرم در ناحیه فارس ساحلی بر اساس مطالعات سه برش سطح اراضی کوه گیسکان، کوه سیاه و کوه خورموج و مغزه های چاه ۸ میدان موند و همچنین اطلاعات تحت اراضی میادین بوشهر، خشت، کوتاه، بزپر، کاکی، میلاتون و نرگسی از نظر سنگ شناسی رسوبی، محیط رسوبی و تاثیرات دیازنتیکی مورد تجزیه و تحلیل قرار گرفته اند.

مناطق مورد مطالعه در جنوب غرب ایران واقع شده و از غرب محدود به گسل قطر- کازرون، از شمال محدود به عرض جغرافیایی ۲۹ درجه و ۴۸ دقیقه شمالی، از شرق به طول جغرافیایی ۵۲ درجه و از جنوب به سواحل خلیج فارس محدود می گردد.

برش گیسکان در کوه گیسکان (تنگ کنج) و در ۱۰ کیلومتری شرق شهرستان برازجان قرار دارد. ضخامت اندازه گیری شده سازند های جهرم و آسماری در این برش به ترتیب ۱۹۶ متر و ۱۴۷ متر می باشد.

برش خورموج در کوه خورموج (تنگ میشی) واقع در ۲۰ کیلومتری شرق شهرستان خورموج می باشد. ضخامت سازند جهرم ۱۴۷ متر و سازند آسماری ۷۳ متر اندازه گیری شده است.

برش کوه سیاه در کوه سیاه (تنگ مرزاب بیگی) واقع در ۱۵ کیلومتری غرب شهرستان بوشگان انتخاب و نمونه برداری شده است. ضخامت سازند جهرم ۲۷۵ متر و سازند آسماری ۲۷۴ متر می باشد.

در ضمن اطلاعات مغزه های گرفته شده از سازند های آسماری و جهرم در چاه شماره ۸ میدان موند به مترار ۴۶۰ متر مورد استفاده و مطالعه قرار گرفته است. سازند جهرم در این چاه ۴۴۰ متر و سازند آسماری ۳۳ متر ضخامت دارد.

تعداد ۶۷۳ نمونه دستی از سازند های آسماری و جهرم در رخنمون های کوه گیسکان، کوه سیاه و کوه خورموج و ۴۵۶ نمونه از مغزه های میدان موند جهت مطالعات پتروگرافی و تهیه مقاطع نازک برداشت گردید.

برای تفسیر محیط رسوبی سازند جهرم از مجموعه فرامینیفرهای بزرگ استفاده شده است. با توجه به کاهش تدریجی عمق آب در مدت رسوبگذاری این سازند و گسترش فرامینیفرهای بزرگ بنتیک باعث گردید تا ۶ رخساره رسوبی مربوط به پلاتفرم کربناته رمپ درونی - میانی تا بیرونی و پلاژیک مورد شناسائی قرار گیرد. این رخساره ها به ترتیب از بخش عمیق به سمت بخش کم عمق حوضه شامل رخساره پلاژیکی پکستون، وکستون تا مادستون که در محیط همی پلاژیک تا پلاژیک می باشند. این رخساره مربوط به بخش گذر تدریجی بین سازند پابده و جهرم است. رخساره Operculina وکستون تا پکستون متعلق به رمپ بیرونی، رخساره Nummulites، Discocyclina وکستون تا پکستون متعلق به محیط رمپ میانی تا

بیرونی، رخساره Nummulites پکستون مربوط به محیط رمپ میانی، رخساره Orbitolites و کستون تا پکستون متعلق به محیط رمپ میانی تا درونی و در نهایت رخساره Orbitolites، بایوکلاست پکستون مربوط به محیط رمپ درونی می باشند.

بررسی رخساره های موجود در توالی کربناته سازند جهرم نمایانگر این است که ابتدا رخساره شیل های آهکی تا سنگ آهک آرژیلیتی حاوی فسیل های پلانکتونی در قسمت های زیرین وجود دارد. سپس به ترتیب رخساره های شماره ۲ الی ۶، که رخساره های کم عمق تری هستند، گسترش می یابند. به این دلیل می توان در سازند جهرم یک سیکل بزرگ پس رونده را در نظر گرفت که از سازند پابده شروع شده و در مرز سازند آسماری ختم می گردد.

سازند آسماری در محدوده مورد مطالعه برخلاف رخمنون های نواحی دیگر از جمله زاگرس چین خورده و زون ایده تقريباً بطور کامل دولومیتی شده است، لذا بررسی رخساره ها در این سازند با مشکل انجام شده است. در اين رساله با کمک مطالعات انجام شده در رخمنون ها و چاه های مناطق دیگر، رخساره ها و تفسیر محیط رسوبی سازند آسماری تعیین گردیده است. اولین نکته حائز اهمیت در این مطالعه تفاوت چشمگیر شرایط حوضه رسوبی این سازند در منطقه شرق بوشهر با نواحی دیگر می باشد، به طوریکه در این منطقه با بررسی سه برش سطح الارضی و ۸ میدان تحت الارضی، می توان چنین گفت که رخساره های سازند آسماری از محیط لاغونی تا پهنه جزر و مدى نهشته شده اند و هیچگونه شواهدی از رخساره های ریفی، دریای باز و پلازیک مشاهده شده در مناطق دیگر زاگرس، دیده نمی شود. رخساره های شناسایی شده در سازند آسماری شامل رخساره باندستون استروماتولیتی، رخساره مادستون، رخساره پلوبید پکستون تا گرینستون اسکلتی، رخساره وکستون اسکلتی، رخساره وکستون تا پکستون اسکلتی که دارای دو زیر رخساره وکستون تا پکستون اسکلتی ماسه ای و رخساره اکینودرم وکستون تا پکستون می باشند.

نکته حائز اهمیت در این مطالعه پیدایش کانی رسی پالیگورسکیت (palygorskite) در نمونه های مطالعه شده از سازند آسماری کوه گیسکان و همچنین بخش های بالایی این سازند در کوه سیاه و کوه خورموج می باشد که نشانگر تشکیل آن در شرایط آب و هوای گرم و خشک است. بنابر این وجود این کانی حاکی از این است که دولومیت های اولیه سازند آسماری احتمالاً در شرایط سبخایی و آهک های سازند آسماری در شرایط گرم و خشک تشکیل شده اند.

بر اساس مطالعات چینه شناسی سکانسی، با استفاده از آخرین منابع موجود و مقایسه نتایج به دست آمده با سازندهای معادل در نواحی مجاور و سیکل های رسوبی ائوسن در مقیاس جهانی، تعداد سه سکانس یا سیکل رسوبی از نوع دسته سوم (third-order) با مرزهای ناپیوستگی از نوع درجه یک و دو (SB1, SB2) در برش های کوه گیسکان، کوه سیاه، کوه خورموج و میادین تحت الارضی منطقه شرق بوشهر برای سازند جهرم شناسائی شده است.

سکانس های رسوی قابل شناسایی در سازند آسماری براساس مطالعات انجام شده بروی برش های سطح اراضی و چاه های میادین منطقه مورد مطالعه در مجموع بیانگر وجود سه سکانس رسوی می باشد.

به منظور تعیین سن سازند های آسماری و جهرم و همچنین تشخیص نوع مرز بین این دو سازند از روش های فسیل شناسی، ایزوتوپ استرانسیم، روند تغییرات ایزوتوپ کربن و اکسیژن و عناصر فرعی استفاده شده است.

برای بررسی ایزوتوپ استرانسیم در برش گیسکان تعداد ۷ نمونه از لایه های مختلف انتخاب شده و مورد مطالعه قرار گرفت. با بررسی نتایج ایزوتوپ استرانسیم نمونه های سازند جهرم در برش گیسکان در محدوده بین ۰.۷۰۷۷۶۳ و ۰.۷۰۷۸۰۸ (سن ۳۵ الی ۳۳,۷ میلیون سال) یعنی اوسن پسین (اشکوب پریابونین) تعیین می گردد. نمونه های سازند آسماری در محدوده بین ۰.۷۰۸۲۹۶ و ۰.۷۰۸۳۰۹ یعنی ۲۲,۱ و ۲۱,۹ میلیون سال (اشکوب اکیتانین) تعیین شده است.

در کوه خورموج تعداد ۱۱ نمونه انتخاب و مورد آنالیز ایزوتوپ استرانسیم قرار گرفته اند. از این تعداد ۹ نمونه مربوط به سازند جهرم و دو نمونه به سازند آسماری تعلق دارند. دامنه تغییرات ایزوتوپ استرانسیم ($^{87}\text{Sr}/^{86}\text{Sr}$) نمونه های سازند جهرم در محدوده ۰.۷۰۷۷۶۰ و ۰.۷۰۷۸۴۰ یعنی ۳۳ تا ۳۵ میلیون سال می باشد. این محدوده سنی متعلق به اوسن پسین است.

در برش کوه سیاه تعداد ۹ نمونه جهت آنالیز ایزوتوپ استرانسیم انتخاب شده است. از این تعداد ۷ نمونه متعلق به سازند جهرم و ۲ نمونه مربوط به سازند آسماری می باشد. دامنه تغییرات ایزوتوپ استرانسیم ($^{87}\text{Sr}/^{86}\text{Sr}$) نمونه های سازند جهرم از ۰.۷۰۷۷۸۰ تا ۰.۷۰۷۹۳۶ یعنی سن ۳۴,۳ الی ۳۱ میلیون سال برای آنها محاسبه شده است.

همچنین بر اساس مطالعات فسیل شناسی انجام شده، به دلیل وجود فرامینیفرهای بزرگ بنتیک همانند *Nummulites fabianii* و *Orbitolites complanatus* که از شاخص های بسیار خوب اوسن پسین در منطقه خلیج فارس می باشند، می توان سن سازند جهرم را در این منطقه اوسن پسین در نظر گرفت. در ضمن سن سازند آسماری بر اساس مطالعات ایزوتوپ استرانسیم و فسیل شناسی، الیگوسن پسین (اشکوب شاتین) تا میوسن پیشین (اشکوب اکیتانین) تعیین شده است.

مطالعه فرآیند های دیاژنزی در سازند های جهرم و آسماری بر اساس برش های سطح اراضی و تحت اراضی انجام شده و عامل اصلی تاثیر گذار بروی این دو سازند، محیط دیاژنسی متاثریکی و تدفینی کم عمق تعیین شده است و این امر باعث ایجاد انحلال و تخلخل در سنگ شده است. فرآیند انحلال در میدان موند باعث ایجاد تخلخل قالبی در نومولیت ها شده و کیفیت مخزنی را افزایش داده است.

مطالعات ژئوشیمی بر اساس تجزیه و تحلیل عناصر فرعی و ایزوتوب های کربن و اکسیژن انجام شده است. مقادیر بالای Sr نسبت به Mn در نمونه های مورد مطالعه حاکی از نیمه بسته بودن سیستم دیاژنتیکی است. به نظر می رسد که توالی های دولومیتی سازند آسماری عمدتاً تحت تأثیر دیاژنز غیر دریایی (non-marine) و در یک محیط نیمه بسته قرار داشتند. شایان ذکر است که توالی های رسوبی سازند جهرم در محدوده سیستم بسته تا نیمه بسته قرار می گیرد. با توجه به نمونه های آهکی سازندهای جهرم و آسماری روند تغییرات ایزوتوب اکسیژن و کربن حاکی از تأثیر دیاژنز متائوریکی می باشد، تغییرات زیاد ایزوتوب کربن در نمونه های دولومیتی سازند جهرم و نمونه های آهکی سازند آسماری را می توان به تأثیر قابل ملاحظه تبادل آب به سنگ (water-Rock interaction) نسبت داد.

کلید واژه ها : سازند آسماری، سازند جهرم، محیط رسوبی، عوامل دیاژنزی، فارس ساحلی

فهرست مندرجات

۱	چکیده:.....
ج	فهرست مندرجات
ر	فهرست شکلها
ظ	فهرست جدول ها
۱	فصل اول
۱	کلیات و زمین شناسی عمومی نواحی مورد مطالعه
۲	مقدمه:.....
۲	اهداف مطالعه
۴	تاریخچه مطالعات قبلی بر روی سازندهای آسماری و جهرم
۷	مبانی انتخاب نواحی مورد مطالعه
۱۱	روش کار:.....
۱۶	موقعیت جغرافیایی نواحی مورد مطالعه
۱۶	موقعیت جغرافیایی و مشخصات عمومی برش چینه شناسی گیسکان
۲۰	حدود و موقعیت جغرافیایی برش چینه شناسی کوه سیاه
۲۲	حدود و موقعیت جغرافیایی برش چینه شناسی کوه خورموج
۲۴	موقعیت نواحی مورد مطالعه از دیدگاه زمین شناسی ساختمانی
۲۴	تکامل کمربند کوهستانی زاگرس
۲۵	فاز تکتونیکی آلپ میانی - پایانی
۲۶	چینه شناسی عمومی ناحیه خلیج فارس
۲۶	پالئوسن پایانی - ائوسن آغازین
۲۶	ائوسن میانی تا پایانی
۲۷	اولیگوسن (روپیلین تا شاتین)
۲۸	میوسن - اکیتانین تا میسینین
۲۸	چینه شناسی عمومی ناحیه فارس ساحلی
۳۲	فصل دوم
۳۲	چینه شناسی و پتروگرافی برش های سطح الارضی و چاه ها در منطقه مورد مطالعه
۳۳	چینه شناسی سازندهای تشکیل دهنده تاقدیس گیسکان
۳۸	چینه شناسی سازند های تشکیل دهنده تاقدیس کوه سیاه
۴۳	چینه شناسی سازند های تشکیل دهنده تاقدیس خورموج
۴۸	مشخصات عمومی و چینه شناسی برش های تحت الارضی
۴۹	توصیف عمومی میدان کوه موند
۴۹	چینه شناسی چاه شماره ۶ میدان کوه موند
۶۰	توصیف عمومی میدان کوتاه
۶۰	چینه شناسی چاه شماره ۱ میدان کوتاه
۶۲	توصیف عمومی میدان کوه کاکی
۶۲	چینه شناسی چاه شماره ۱ میدان کاکی

۶۴.....	توصیف عمومی میدان بوشهر
۶۴.....	چینه شناسی چاه شماره ۳ میدان بوشهر
۶۶.....	توصیف عمومی میدان خشت
۶۶.....	چینه شناسی چاه شماره ۱ میدان خشت
۶۷.....	توصیف عمومی میدان بزپر
۶۷.....	چینه شناسی چاه شماره ۱ میدان بزپر
۶۹.....	توصیف عمومی میدان میلاتون
۶۹.....	چینه شناسی چاه شماره ۱ میدان میلاتون
۷۰.....	توصیف عمومی میدان نرگسی
۷۰.....	چینه شناسی چاه شماره ۱ میدان نرگسی
۷۱.....	فصل سوم
۷۱.....	رخساره ها و محیط رسوبی سازند جهرم در برش های سطح الارضی و چاه های منطقه مورد مطالعه
۷۲.....	اهداف مورد نظر
۷۲.....	روش مطالعه
۷۴.....	رخساره های سازند جهرم
۷۴.....	مقدمه:
۷۵.....	رخساره شماره ۱
۷۵.....	پکستون، وکستون تا مادستون پلازیکی
۷۵.....	(Pelagic Packstone/Wackestone /Mudstone)
۷۹.....	رخساره شماره ۲
۷۹.....	(Opercolina Wackestone /Packstone Facies) <i>Operculina</i>
۸۴.....	رخساره شماره ۳
۸۴.....	وکستون تا پکستون <i>Nummulites Discocyclina</i>
۸۴.....	(Discocyclina –Nummulites Wackestone/Packstone)
۸۸.....	رخساره شماره ۴ <i>Nummulites</i> پکستون (Nummulitid Packstone)
۹۲.....	رخساره شماره ۵
۹۲.....	وکستون تا پکستون <i>Orbitolites Nummulites</i>
۹۲.....	Nummulites –Orbitolites Wackestone/Packstone
۹۲.....	محیط تشکیل
۹۵.....	رخساره شماره ۶
۹۵.....	اوربیتولیتس بایوکلاست پکستون (Orbitolites-Bioclast Packstone)
۱۰۲.....	الگوی گسترش رخساره های سازند جهرم در نواحی مورد مطالعه
۱۰۶.....	فصل چهارم
۱۰۶.....	رخساره ها و محیط رسوبی سازند آسماری در برش های سطح الارضی و چاه های منطقه مورد مطالعه
۱۰۷.....	مقدمه
۱۰۷.....	رخساره های سازند آسماری
۱۰۹.....	رخساره شماره ۱

۱۰۹	باندستون استرماتولیتی (Stromatolitic boundstone)
۱۰۹	رخساره شماره ۲
۱۰۹	مادستون (Mudstone)
۱۱۲	رخساره شماره ۳
۱۱۲	پلویید پکستون تا گرینستون اسکلتی (Skeletal peloid packstone/grainstone)
۱۱۶	رخساره شماره ۴
۱۱۶	وکستون اسکلتی (Skeletal wackestone) رخساره شماره ۵ وکستون تا پکستون اسکلتی (Skeletal)
۱۱۹	رخساره شماره ۵ وکستون تا پکستون اسکلتی (wackestone/packstone)
۱۱۹	زیر رخساره ۵،۱ وکستون تا پکستون اسکلتی ماسه ای (Sandy skeletal) wackestone/packstone)
۱۱۹	زیر رخساره ۵،۲ اکینودرم وکستون تا پکستون (Echinoderm wackestone/ packstone)
۱۲۳	مدل رسوی سازند آسماری در ناحیه شرق بوشهر
۱۲۵	فصل پنجم
۱۲۵	بررسی سن و مرز سازند های جهرم و آسماری در نواحی مورد مطالعه
۱۲۶	مقدمه
۱۲۶	مطالعات فسیل شناسی سازند های جهرم و آسماری
۱۲۹	سن سازند های جهرم و آسماری بر اساس مطالعات فسیل شناسی
۱۳۱	بررسی مرز سازند های جهرم و آسماری بر اساس مطالعات فسیل شناسی در برش های سطح اراضی و تحت ارضی
۱۳۵	بررسی ایزوتوپ استرانسیم $^{87}\text{Sr}/^{86}\text{Sr}$
۱۳۵	نتایج استرانسیم برش سطح اراضی گیسکان
۱۳۶	نتایج استرانسیم برش سطح اراضی خورموج
۱۳۷	نتایج استرانسیم برش سطح اراضی کوه سیاه
۱۳۷	نتیجه کلی
۱۴۴	مرز سازند های پابده، جهرم و آسماری بر اساس عناصر اصلی و فرعی و ایزوتوپ کربن و اکسیژن در امتداد ستون چینه شناسی
۱۴۹	فصل ششم
۱۴۹	چینه شناسی سکانسی و محیط رسوی دیرینه (Paleoenvironment) سازند های جهرم و آسماری در نواحی مورد مطالعه
۱۵۰	: اهداف
۱۵۵	عوامل موثر بر تشکیل سیکل های رسوی سازند های جهرم و آسماری
۱۵۶	چینه شناسی توالی های و محیط رسوی دیرینه سازند جهرم
۱۵۷	سکانس شماره یک سازند جهرم (SeqJa1)
۱۶۵	سکانس شماره ۲ سازند جهرم (SeqJa2)
۱۷۱	سکانس شماره ۳ سازند جهرم (SeqJa3)

۱۷۷	چینه شناسی توالی ها و محیط رسوی دیرینه سازند آسماری
۱۷۸	سکانس شماره ۱ سازند آسماری (SeqAs1)
۱۷۸	سکانس شماره ۲ سازند آسماری (SeqAs2)
۱۷۹	سکانس شماره ۳ سازند آسماری (SeqAs3)
۱۸۹	فصل هفتم
۱۸۹	فرآیندهای دیاژنزی سازند های جهرم و آسماری در نواحی مورد مطالعه
۱۹۰	مقدمه
۱۹۱	روش و مراحل تحقیق
۱۹۱	دیاژنز
۱۹۲	محیط‌های دیاژنسی
۱۹۳	فرآیندهای دیاژنسی موجود در سازند های جهرم و آسماری
۱۹۵	آشفتگی زیستی و بورینگ (Bioturbation and Boring)
۱۹۵	میکرایتی شدن
۱۹۹	تراکم (Compaction)
۲۰۰	تراکم مکانیکی (Mechanical Compaction)
۲۰۱	تراکم شیمیایی (Chemical Compaction)
۲۰۴	سیمانی شدن نهشته‌ها
۲۱۷	نوپیدایشی (Transformation)
۲۲۲	انحلال
۲۲۸	تخلخل
۲۲۹	تخلخل بین ذره ای (Interparticle porosity)
۲۲۹	تخلخل فنسترال (Fenestral porosity)
۲۳۰	تخلخل قالبی (Mouldic porosity)
۲۳۱	تخلخل حفره ای (Vuggy porosity)
۲۳۱	تخلخل بین بلوری (Intercrystalline porosity)
۲۳۷	تخلخل پناهگاهی (Shelter porosity)
۲۳۷	تخلخل ناشی از چروک خوردگی (Shrinkage porosity)
۲۳۷	تخلخل شکستگی (Fracture porosity)
۲۳۷	تخلخل کanalی (Channel porosity)
۲۴۲	بررسی تخلخل در سکانس های مختلف رسوی ناحیه مورد مطالعه
۲۴۲	بررسی تغییرات تخلخل در برش کوه سیاه
۲۴۳	بررسی تغییرات تخلخل در برش تحت الارضی میدان موند (چاه ۶)
۲۴۶	دولومیتی شدن
۲۴۶	انواع دولومیت های سازند های جهرم و آسماری
۲۴۷	دولومیت های خیلی ریز بلور (Dolomiticite)
۲۴۷	دولومیت های ریز بلور (Dolomicrosparite)
۲۴۸	دولومیت های متوسط بلور

۲۴۸	سیمان دولومیتی
۲۵۶	گسترش لایه های دولومیتی سازند های جهرم و آسماری
۲۵۶	کانه زایی تبخیری (Evaporite mineralization)
۲۵۹	فصل هشتم
۲۵۹	ژئوشیمی عنصری و ایزوتوبی
۲۶۰	مقدمه
۲۶۱	مطالعات ژئوشیمیایی آهکهای سازند های جهرم و آسماری
۲۷۱	عناصر اصلی و فرعی
۲۷۱	استرانسیم
۲۷۳	سدیم
۲۷۵	منگنز
۲۷۶	آهن (Fe)
۲۷۷	نسبت استرانسیم به منگنز (Sr/Mn)
۲۷۸	نسبت استرانسیم به سدیم (Sr/Na)
۲۷۹	نسبت استرانسیم به کلسیم (Sr/Ca)
۲۸۱	مطالعات ایزوتوبی اکسیژن ۱۸ و کربن ۱۳
۲۸۱	تعیین روند دیاژنز سازند های جهرم و آسماری
۲۸۴	بررسی کانیهای رسی و نمونه سنگ (bulk) توسط آنالیز XRD
۲۹۰	مطالعات SEM
۲۹۱	نتیجه گیری :
۲۹۹	فهرست منابع
۳۰۲	References:
۳۱۶	ضمیمه شماره ۱
۳۱۷	ضمیمه شماره ۲

فهرست شکلها

شکل ۱-۱- نقشه زمین شناسی ایران که در آن ناحیه مورد مطالعه به وسیله مستطیل سیاه رنگ مشخص شده است، اقتباس از نقشه یک ده میلیونیم سازمان زمین شناسی کشور، آقاباتی، ۱۹۷۸.....	۸
شکل ۲-۱- نقشه تصویر ماهواره ای از منطقه مورد مطالعه.....	۹
شکل ۳-۱- نقشه موقعیت برش های سطح الارضی کوه گیسکان، کوه سیاه و کوه خورموج (رنگ قرمز) به همراه میدان موند، کاکی، بوشهر، کوتاه، خشت، نرگسی، میلانو و بزر (رنگ سبز) همراه با موقعیت شهرهای بزرگ.....	۱۰
شکل ۴-۱- نقشه زمین شناسی منطقه مورد مطالعه و محل اندازه گیری سازند های آسماری و جهرم در برش های سطح الارضی کوه گیسکان، کوه سیاه و کوه خورموج.....	۱۷
شکل ۵-۱- موقعیت جغرافیائی و راههای دسترسی به برش های کوه گیسکان، کوه سیاه و کوه خورموج.....	۱۸
شکل ۶-۱- نقشه زمین شناسی بخشی از کوه گیسکان.....	۱۹
شکل ۷-۱- نقشه زمین شناسی بخشی از کوه سیاه و تنگه مرزاب بیگی.....	۲۱
شکل ۸-۱- نقشه زمین شناسی بخشی از یال جنوبی کوه خورموج و تنگ میشی.....	۲۳
شکل ۹-۱- گسترش رسوبات در فاصله زمانی روپیلین تا شاتین در صفحه عربی و نواحی اطراف.....	۲۹
شکل ۱۰-۱- گسترش جغرافیایی سازند های آسماری و جهرم در نواحی فارس ساحلی، جنوب غرب و شمال غرب فروافتادگی دزفول.....	۳۰
شکل ۱۱-۱- سازند های آسماری و جهرم در نواحی فارس ساحلی و هم ارز آنها در مناطق مختلف کشور های حاشیه خلیج فارس.....	۳۰
شکل ۱۲-۱- معادل سازند جهرم و آسماری در کشور های مختلف حاشیه خلیج فارس.....	۳۱
شکل ۱۲-۲- نمای کلی از تاقدیس کوه گیسکان در شرق شهرستان برازجان.....	۳۴
شکل ۱۲-۳- توالی لایه های نازک آهکی مربوط به سازند ایلام در کوه گیسکان.....	۳۴
شکل ۱۲-۴- الف- نمای کلی از کوه گیسکان در دره کنج.....	۳۵
شکل ۱۲-۵- الف- مرز تدریجی بین سازند شیلی - مارنی پابده و آهک جهرم در کوه گیسکان. ب- لایه های آهکی ضخیم بخش پایینی سازند جهرم در کوه گیسکان.....	۳۶
شکل ۱۲-۶- لاغ صحرایی برش سطح الارضی کوه گیسکان در تنگ کنج کنج.....	۳۷
شکل ۱۲-۷- نمای عمومی از کوه سیاه.....	۴۰
شکل ۱۲-۸- مرز تدریجی سازند پابده به جهرم.....	۴۰
شکل ۱۲-۹- بخش بالایی سازند جهرم، سازند آسماری، سازند گچساران و مارن های سازند میشان کوه سیاه.....	۴۱
شکل ۱۲-۱۰- الف- لایه های دولومیتی حاوی ندول های بزرگ اندیزیت در بخش بالایی سازند آسماری در کوه سیاه. ب- نمای نزدیک از لایه های دولومیتی حاوی ندول های بزرگ اندیزیت در بخش بالایی سازند آسماری در کوه سیاه ج- لایه های ضخیم اندیزیت سازند گچساران در کوه سیاه.....	۴۱
شکل ۱۲-۱۱- لاغ صحرایی برش سطح الارضی کوه سیاه.....	۴۲
شکل ۱۲-۱۲- نمای عمومی از تنگه میشی در کوه خورموج.....	۴۴
شکل ۱۲-۱۳- الف و ب- سازند های گورپی و پابده در نقشه های زمین شناسی تفکیک نشده و در قسمت میانی آنها بخش آهکی به ضخامت حدود ۴۰ متر وجود دارد که بصورت پیکستون تا گرینستون فسیل های آلوئولین، نومولیت و لایه های فسفاتی در بین آنها است. ج- لایه های ظرفی سیلیسی در مارن و آهک آرژیلیتی سازند پابده. د- چرت های لایه ای در بین سازند پابده در کوه خورموج.....	۴۴
شکل ۱۲-۱۴- نمای کلی از کوه خورموج و تنگ میشی در محل اندازه گیری دو سازند جهرم و آسماری.....	۴۵
شکل ۱۲-۱۵- بخش میانی و بالایی سازند جهرم در برش تنگ میشی کوه خورموج.....	۴۶
شکل ۱۲-۱۶- نمایی از سازند آسماری در کوه خورموج به همراه ستون چینه شناسی توصیف شده صحرایی.....	۴۶
شکل ۱۲-۱۷- الف- در قسمت میانی سازند جهرم لایه ای به ضخامت حدود ۵ متر دولومیتی است، بقیه سازند آهکی می باشد. ب- مرز بالایی سازند آسماری با اندیزیت سازند گچساران در تنگ میشی کوه خورموج و نمای نزدیک از اندیزیت.....	۴۷
شکل ۱۲-۱۸- لاغ صحرایی برش سطح الارضی کوه خورموج.....	۴۷

..... شکل ۱۹-۲ ۶۶۷،۷۵ متر ، دولومیت بلورین با تخلخل بین بلورین ۵۱
..... الف- عمق ب- عمق ۵۱
..... ۶۴۴،۲۵ متر ، دولومیت بلورین با تخلخل بین بلورین ۵۱	
..... ۵۸۰ متر، دولومیت با بافت پکستون حاوی فسیل های نومولیت و تخلخل قالبی ۵۱	
..... ۵۷۸،۵ متر، دولومیت با بافت پکستون حاوی فسیل های نومولیت و تخلخل قالبی ۵۱	
..... ۵۷۵ متر، دولومیت با بافت پکستون تا پکستون حاوی فسیل های نومولیت و تخلخل قالب ۵۱	
..... ۵۷۱،۲۰ متر، دولومیت با بافت پکستون حاوی فسیل های نومولیت و تخلخل قالبی ۵۱	
..... شکل ۲۰-۲ ۵۳	
..... الف- عمق ۵۶۲ متر ، دولومیت با تخلخل کل حدود ۵ درصد ۵۳	
..... ب- عمق ۵۶۰ متر، دولومیت با تخلخل کل حدود ۶ درصد ۵۳	
..... ج- عمق ۵۲۲ متر، دولومیت با بافت وکستون حاوی فسیل های نومولیت بطوز پراکنده و تخلخل قالبی ۵۳	
..... د- عمق ۵۱۶ متر، دولومیت با بافت پکستون حاوی فسیل های نومولیت و تخلخل قالبی ۵۳	
..... ۵۰۴ متر، دولومیت با بافت بلورین حاوی فسیل های اکینودرم ، جلبک قرمز و استراکود ۵۳	
..... و- عمق ۴۸۵،۸۵ متر، دولومیت با بافت وکستون در قسمت پایین همراه با آغشته نفتی شدید ۵۳	
..... شکل ۲۱-۲ ۵۵	
..... الف- عمق ۴۴۵،۵۰ متر ، دولومیت با بافت پکستون و تخلخل کل حدود ۲ درصد ۵۵	
..... ب- عمق ۴۴۳،۲۵ متر، دولومیت با بافت پکستون تا گرینستون و تخلخل کل حدود ۱۰ درصد ۵۵	
..... ج- عمق ۳۴۶ متر، آهک با بافت وکستون حاوی ذرات اینتراکلاست / اکستراکلاست ؟ و ندول های آنیدریتی ۵۵	
..... د- عمق ۳۴۵،۷۰ متر، آهک با بافت وکستون حاوی ذرات اینتراکلاست / اکستراکلاست ؟ ۵۵	
..... ۵- عمق ۳۱۴،۵۰ متر، دولومیت با بافت رودستون تا باندستون ۵۵	
..... و- عمق ۳۱۴،۳۰ متر، دولومیت با بافت رودستون تا باندستون ۵۵	
..... شکل ۲۲-۲ ۵۷	
..... الف- عمق ۳۱۰،۳۰ متر ، دولومیت با بافت برشی در محدود مرز بین سازند آسماری و گچساران ۵۷	
..... ب- عمق ۳۰۶،۵ متر، دولومیت با بافت برشی و ندول های آنیدریت در محدود مرز بین سازند آسماری و گچساران ۵۷	
..... ج- عمق ۳۰۴،۸۰ متر، دولومیت همراه با ندول های آنیدریتی در مرز سازند آسماری و گچساران ۵۷	
..... د- عمق ۳۰۲،۵۵ متر، آنیدریت لایه ای مربوط به سازند گچساران ۵۷	
..... شکل ۲۳-۲ ۵۹	
..... ل- لاغ توصیف ماکروسکوپی مغزه های چاه شماره ۶ میدان موند ۵۹	
..... شکل ۱-۳ ۷۷	
..... الف- رخساره پلازیک با بافت مادستونی همراه با فسیل ۷۷	
..... ب- رخساره پلازیک با بافت مادستون همراه با فسیل <i>Globigerinatheca sp.</i> ۷۷	
..... ج- رخساره پلازیک با بافت وکستون همراه با فسیل <i>Globorotalia</i> و ذرات پیریت ۷۷	
..... د- رخساره پلازیک با بافت وکستون همراه با فسیل <i>Globorotalia</i> و ذرات پیریت ۷۷	
..... ه- رخساره پلازیک با بافت مادستونی همراه با فسیل هنتکنینا ۷۷	
..... و- رخساره پلازیک با بافت مادستون حاوی آثار فاورینا ۷۷	
..... ز- رخساره پلازیک با بافت وکستون تا مادستون حاوی خرده های <i>Robulus</i> و خرده های ریز استراکود ۷۷	
..... شکل ۲-۳ ۸۲	
..... الف- رخساره (O) با بافت وکستون همراه با <i>Discocyclina(D)</i> بطور کشیده و دیتروپا(DI) ۸۲	
..... ب- رخساره (O) با بافت وکستون تا پکستون ۸۲	
..... چ- رخساره <i>Operculina</i> با بافت وکستون تا پکستون همراه با ذرات ریز پلویید ۸۲	
..... ه- رخساره <i>Operculina</i> با بافت پکستون ۸۲	
..... و- رخساره (O) با بافت وکستون حاوی خرده های <i>Discocyclina(D)</i> و دیتروپا(DI) ۸۲	
..... شکل ۳-۳ ۸۷	
..... الف- رخساره <i>Nummulites -Discocyclina</i> با بافت وکستون همراه با خرده های <i>Operculina</i> ، فرامینیفرهای ریز بنتیک و پلویید ۸۷	
..... ب- رخساره <i>Nummulites -Discocyclina</i> با بافت پکستون ۸۷	

ج- رخساره <i>Discocyclina</i> با بافت وکستون: (DI) <i>Discocyclina</i> و	۸۷
د- نمونه دیگری از رخساره <i>Discocyclina</i> (DI) با بافت پکستون همراه با.....	۸۷
شکل ۴-۳.....	۹۰
الف- رخساره <i>Nummulites</i> با بافت وکستون تا پکستون همراه با پلوید در زمینه سنگ.....	۹۰
ب- رخساره <i>Nummulites</i> با بافت پکستون حاوی پلوید و خرده های ریز اکینودرم.....	۹۰
ج- رخساره <i>Nummulites</i> با بافت پکستون، نومولیت ها ریز تا متوسط.....	۹۰
د- رخساره <i>Nummulites</i> با بافت وکستون تا پکستون همراه با قطعات درشت اکینودرم (E) در زمینه میکرایتی.....	۹۰
ه- رخساره <i>Nummulites</i> با بافت پکستون.....	۹۰
و- رخساره <i>Nummulites</i> با بافت وکستون در زمینه میکرایتی همراه با خرده های ریز فرامینیفر پلانکتونی.....	۹۰
ز- رخساره <i>Nummulites</i> با بافت وکستون تا پکستون.....	۹۰
ح- رخساره <i>Nummulites</i> با بافت وکستون.....	۹۰
شکل ۵-۳.....	۹۴
الف- رخساره (OR) <i>Orbitolites - Nummulites</i> با بافت وکستون.....	۹۴
ب- رخساره (OR) <i>Orbitolites - Nummulites</i> با بافت پکستون همراه با خرده های اکینودرم و فرامینیفرهای لاغونی.....	۹۴
ج- رخساره <i>Orbitolites (OR) - Nummulites</i> با بافت وکستون تا پکستون حاوی بروزو (BR)، خرده های اکینودرم (E) و فرامینیفرهای ریز بنتیک.....	۹۴
د- رخساره <i>Orbitolites - Nummulites</i> (OR) با بافت پکستون همراه با اکینودرم، میلیولیده و پلوید.....	۹۴
شکل ۶-۳.....	۹۷
الف- رخساره بایوکلاست پکستون تا گرینستون حاوی جلبک سبز، خرده های اکینودرم، جلبک قرمز، میلیولیده و پلوید.....	۹۷
ب- رخساره بایوکلاست پکستون حاوی میلیولیده، خرده های اکینودرم و دیگر فرامینیفرهای ریز بنتیکی.....	۹۷
ج- رخساره بایوکلاست پکستون حاوی (ME) <i>Medocia</i> ، جلبک قرمز و خرده های اکینوردم.....	۹۷
د- رخساره بایوکلاست پکستون حاوی جلبک سبز، <i>Orbitolites</i> ، خرده های جلبک قرمز و اکینودرم، میلیولیده و دیگر فرامینیفرهای لاغونی.....	۹۷
ه- رخساره بایوکلاست پکستون حاوی (OR), میلیولیده و دیگر فرامینیفرهای لاغونی همراه با پلوید.....	۹۷
و- رخساره بایوکلاست پکستون حاوی فرامینیفرهای لاغونی.....	۹۷
شکل ۷-۲-پروفیل محیط رسوبی و گسترش فرامینیفرهای سازند جهرم به سن اثوسن پسین.....	۱۰۱
۱۰۱.....	FWWB = خط زیر امواج نرمال.....
۱۰۱.....	FWB = خط زیر امواج طوفانی.....
شکل ۸-۳- نقشه های پالتوفاسیس موجود از چگونگی گسترش رخساره های کربناته سازند جهرم و دمام در نواحی مختلف پلاتفرم عربی (Ziegler, 2001).....	۱۰۴
شکل ۹-۳- پروفیل محیط رسوبی و گسترش رخساره های سازند جهرم.....	۱۰۵
شکل ۱-۴.....	۱۱۱
الف- رخساره <i>Stromatolitic boundstone</i> با زمینه میکرایتی آهکی.....	۱۱۱
ب- رخساره <i>Mudstone</i> با زمینه تشکیل شده از بلورهای بسیار ریز دولومیت.....	۱۱۱
ج- رخساره <i>Mudstone</i> با زمینه تشکیل شده از بلورهای بسیار ریز دولومیت.....	۱۱۱
د- رخساره <i>Mudstone</i> با زمینه تشکیل شده از بلورهای بسیار ریز دولومیت، همراه با آثار آشفتگی زیستی و لامیناسیون ضعیف، نمونه شماره 30_KBY کوه خورموج، نور معمولی.....	۱۱۱
شکل ۲-۴.....	۱۱۴
الف- رخساره پکستون تا گرینستون اسکلتی حاوی قطعات جلبک، میلیولیده، گاستروپود و اینتراکلاست.....	۱۱۴
ب- رخساره پکستون اسکلتی حاوی فرامینیفرهای ریز بنتیکی در زمینه میکرایتی.....	۱۱۴
ج- رخساره گرینستون اسکلتی حاوی میلیولیده، پنروپلیس (P) و دیگر بنتیک های ریز لاغونی.....	۱۱۴
د- رخساره پکستون اسکلتی همراه با تخلخل قالبی و حفره ای.....	۱۱۴
ه- رخساره پلوید پکستون تا گرینستون اسکلتی حاوی میلیولیده، خرده های اکینودرم و فرامینیفرهای ریز لاغونی.....	۱۱۴
شکل ۳-۴.....	۱۱۷
الف- رخساره وکستون اسکلتی حاوی قالب گاستروپود و میلیولیده.....	۱۱۷

ب- تصویر دیگر از رخساره و کستون اسکلتی حاوی میلیولیده و پنروپلیس.....	۱۱۷
ج- رخساره و کستون اسکلتی حاوی (<i>Dendritina</i> sp) و گاستروپود.....	۱۱۷
د- رخساره و کستون اسکلتی با ترکیب دولومیتی حاوی میلیولیده و استراکود.....	۱۱۷
ه- رخساره و کستون اسکلتی با ترکیب دولومیتی حاوی گاستروپود و استراکود.....	۱۱۷
و- رخساره و کستون اسکلتی با ترکیب دولومیتی حاوی (<i>Peneroplis</i> sp) و گاستروپود	۱۱۸
شکل ۴-۴ الف- رخساره و کستون اسکلتی ماسه ای حاوی <i>Discorbis</i> sp و <i>Ammonia</i> sp	۱۲۱
ب- نمونه دیگر از رخساره و کستون اسکلتی ماسه ای.....	۱۲۱
ج- رخساره و کستون اسکلتی ماسه ای	۱۲۱
د- رخساره و کستون اسکلتی ماسه ای	۱۲۱
ه- رخساره و کستون اسکلتی ماسه ای	۱۲۱
و- رخساره و کستون تا پکستون اکینودرم دار.....	۱۲۱
ز- رخساره و کستون تا پکستون اکینودرم دار.....	۱۲۱
ح- رخساره و کستون تا پکستون اکینودرم دار.....	۱۲۱
شکل ۱-۵ - گونه های مختلف فرامینیفرهای بنتیک مربوط به آئوسن پسین سازند جهرم در برش های مختلف سطح الارضی.....	۱۳۲
شکل ۲-۵ - تطابق فسیل شناسی آئوسن پسین در نواحی مختلف خاورمیانه	۱۳۳
شکل ۳-۵ - توزیع زمانی فسیل های متعلق به آئوسن پسین تا الیگوسن پیشین برای زون های بنتیک کم عمق (در بالا) و توزیع استاندارد نومولیت ها در پایین	۱۳۳
شکل ۴-۵ - تطابق سازند های معادل سنی سازند جهرم و آسماری در منطقه خلیج فارس و کشور های همجوار	۱۳۴
شکل ۵-۵ نمودار تغییرات استرانسیم در مقابل عمق در سازند جهرم در برش کوه گیسکان	۱۳۹
شکل ۶-۵ نمودار تغییرات استرانسیم در مقابل عمق در سازند جهرم در برش کوه خورموج	۱۴۰
شکل ۷-۵ نمودار تغییرات استرانسیم در مقابل عمق در سازند جهرم در برش کوه سیاه	۱۴۱
شکل ۸-۵ - مقایسه مرز سازند های جهرم و آسماری در میادین تحت الارضی و برش های سطح الارضی	۱۴۲
شکل ۹-۵ - نقشه گسترش خشکی زایی در منطقه شرق بوشهر.....	۱۴۳
شکل ۱۰-۵ - تغییرات عناصر اصلی و فرعی و همچنین ایزوتوپ کربن و اکسیژن در امتداد ستون چینه شناسی سازند های جهرم و آسماری در مقطع تنگ کنج واقع در کوه گیسکان	۱۴۶
شکل ۱۱-۵ - تغییرات عناصر اصلی و فرعی و همچنین ایزوتوپ کربن و اکسیژن در امتداد ستون چینه شناسی سازند های جهرم و آسماری در مقطع تنگ مرزاب بیگی واقع در کوه سیاه	۱۴۷
شکل ۱۲-۵ - تغییرات عناصر اصلی و فرعی و همچنین ایزوتوپ کربن و اکسیژن در امتداد ستون چینه شناسی سازند های جهرم و آسماری در مقطع تنگ میشی واقع در کوه خورموج	۱۴۸
شکل ۱-۶ مرز های مختلف مدل های چینه شناسی سکانسی، بر اساس فاز های رسوبی مشخص شده اند (Catuneanu, 2002)	۱۵۲
شکل ۲-۶ - تاثیر فرآیندهای تکتونیکی و تغییرات اقلیمی یا مداری بروی نوسانات ایزوستازی و ایجاد سیکل های دسته اول تا پنجم. (modified from Vail et al., 1977, and Miall, 2000)	۱۵۵
شکل ۳-۶ محیط رسوبی دیرینه سازند جهرم در شروع سکانس شماره یک (SeqJa1)	۱۶۰
شکل ۴-۶ محیط رسوبی دیرینه سازند جهرم در مرز بالایی سکانس شماره یک (SeqJa1)	۱۶۱
شکل ۵-۶ - مدل رسوبی سازند جهرم در شروع رسوبگذاری آن (آئوسن میانی - آئوسن پسین)	۱۶۲
شکل ۶-۶ - مدل رسوبی سازند جهرم در بخش انتهائی فاز (Late Highstand Systems Tract) HST	۱۶۳
شکل ۷-۶ نقشه هم ضخامت سکانس شماره ۱ (SeqJa1) سکانس ۱ (Late Highstand Systems Tract) HST	۱۶۴
شکل ۸-۶ محیط رسوبی دیرینه مرز بالایی سکانس ۲ (SeqJa2)	۱۶۸
شکل ۹-۶ مدل رسوبی سازند جهرم در بخش انتهائی فاز (SeqJa2) سکانس دوم (Late Highstand Systems Tract) HST	۱۶۹
شکل ۱۰-۶ نقشه هم ضخامت سکانس شماره ۲ سازند جهرم در منطقه شرق بوشهر	۱۷۰
شکل ۱۱-۶ نقشه محیط رسوبی دیرینه در مرز بالایی سکانس شماره ۳ (SeqJa3)	۱۷۴
شکل ۱۲-۶ مدل رسوبی سازند جهرم در بخش انتهائی فاز (Late Highstand Systems Tract) HST سکانس سوم	۱۷۵
شکل ۱۳-۶ نقشه هم ضخامت سکانس شماره ۳ سازند جهرم	۱۷۶

شکل ۱۴-۶-الف- سیکل های رسوبی دسته سه شناسایی شده در سازند آسماری در منطقه بوشهر و مقایسه آنها با مناطق دیگر.	۱۷۷
شکل ۱۴-۶-ب- نقشه محیط رسوبی دیرینه مرز بالایی سکانس شماره ۱ (SeqAs1).....	۱۸۰
شکل ۱۵-۶ مدل رسوبی سازند آسماری در بخش انتهائی فاز HST (Late Highstand Systems Tract) سکانس اول رسوبی (بخش زیرین سازند).....	۱۸۱
شکل ۱۶-۶ نقشه هم ضخامت سکانس شماره ۱ (SeqAs1) سازند آسماری.....	۱۸۲
شکل ۱۷-۶ نقشه محیط رسوبی دیرینه مرز بالایی سکانس شماره ۲ (.....)	۱۸۳
شکل ۱۸-۶ مدل رسوبی سازند آسماری در بخش انتهائی فاز HST (Late Highstand Systems Tract) سکانس دوم رسوبی.....	۱۸۴
شکل ۱۹-۶ نقشه هم ضخامت سکانس شماره ۲ سازند آسماری.....	۱۸۵
شکل ۲۰-۶ نقشه محیط رسوبی دیرینه مرز بالایی سکانس شماره ۳ (میوسن پیشین) سازند آسماری.....	۱۸۶
شکل ۲۱-۶ مدل رسوبی سازند آسماری در بخش انتهائی فاز HST (Late Highstand Systems Tract) سکانس سوم رسوبی (بالاترین بخش آسماری).....	۱۸۷
شکل ۲۲-۶ نقشه هم ضخامت سکانس شماره ۳ سازند آسماری.....	۱۸۸
شکل ۱-۷ توالی پاراژنزی فرایند های دیاژنزی شناسایی شده در سازند های جهرم و آسماری در منطقه شرق بوشهر براساس برش های سطح الارضی کوه گیسکان، کوه سیاه و کوه خورموج و برش تحت الارضی میدان موند.....	۱۹۴
شکل ۲-۷ فرآیندهای دیاژنزی آشفتگی زیستی، حفاری و میکروبی شدن در سازند های جهرم و آسماری.....	۱۹۷
شکل ۳-۷ مراحل مختلف تراکم در سازند های جهرم و آسماری برش های سطح الارضی و تحت الارضی.....	۲۰۲
شکل ۴-۷ انواع بلورهای انیدربیتی در سازند های جهرم و آسماری در برش های سطح الارضی و تحت الارضی.....	۲۰۶
شکل ۵-۷ (الف) و (ب) سیمان کلسیتی هم بعد پر کننده شکستگی ها در سازند جهرم کوه گیسکان.....	۲۰۸
شکل ۶-۷ (الف) سیمان کلسیتی هم بعد پر کننده شکستگی در سازند آسماری کوه سیاه، نمونه شماره ۱۵ Kby.....	۲۱۱
(ب) نمونه قبلی در نور کاتند.....	۲۱۱
(ج) سیمان سوزنی تا فیبری هم ضخامت (Acicular to fibrous cement) و سیمان دروزی موزاییک پر کننده حفرات.....	۲۱۱
(ه) سیمان بلوکی کلسیتی پر کننده شکستگی ها در زمینه دولومیتی سازند آسماری کوه گیسکان.....	۲۱۱
شکل ۷-۷ (الف) سیمان کلسیتی هم بعد پر کننده شکستگی در سازند آسماری کوه سیاه، نمونه شماره ۱۵ GJ.....	۲۱۲
آبیزارین قرمز رنگ آمیزی شده است، نور طبیعی، نمونه سازند آسماری کوه گیسکان، شماره نمونه ۳۶۳ GJ ۳۶۳، (ب) همان نمونه قبلی با نور کاتد، سیمان حاشیه ای (a) تیره و فاقد لومینسانس در محیط دریایی و سیمان نسل دوم (b) دارای لومینسانس زرد تا نارنجی شفاف همراه با زوناسیون در محیط دریاچه ای متاثریکی تشکیل شده است.....	۲۱۲
(ج) و (د) تصویر دیگر از نمونه GJ ۳۶۳ نشان داده شده است. در این شکل نسل سوم سیمان شدگی (c) بصورت سیمان بلوکی با لومینسانس مات (dull) مربوط به محیط تدفینی است.....	۲۱۲
شکل ۸-۷ (الف) سیمان کلسیتی هم بعد (Equant) و سیمان حاشیه ای سوزنی تا فیبری هم ضخامت (AC) (Acicular to fibrous cement) در نمونه آسماری کوه سیاه، شماره نمونه kby 23، نور طبیعی، شکل (ب) تصویر کاتد نمونه قبلی، شامل دولومیت رمبودر قرمز رنگ (b) مرحله اولیه (تاخیری)، و سیمان تیره رنگ و فاقد لومینسانس (c).....	۲۱۴
شکل ۹-۷ انواع سیمان های تشکیل شده در سازند های جهرم و آسماری برش های سطح الارضی و تحت الارضی.....	۲۱۵
شکل ۱۰-۷ (الف) و (ب) پدیده نوبیدایشی بصورت رشد ذرات میکرایتی ماتریکس و تبدیل شدن آنها به میکرواسپاری تا اسپار دروغین، کلسیت نوبیدایشی توسط پراکندگی ناهمگن اندازه بلورها و گسترش بلورهای موزاییک درشت، مرزهای بین بلوری نامنظم و منحنی شکل، مرزهای تدریجی در نواحی اسپار نوبیدایشی قابل تشخیص می باشد. نمونه توسط آبیزارین قرمز رنگ آمیزی شده است. سازند آسماری کوه خورموج، شماره نمونه ktmb_s186، نور طبیعی.....	۲۱۸
(ج) و (د) رشد بلورهای دولومیت و تبدیل شدن آنها به بلورهای درشت تر.....	۲۱۸